

تعیین زمان بندی فرود هواپیما با استفاده از الگوریتم فراابتکاری نزول همسایگی متغیر

امیر صالحی پور (استادیار)

دانشکده‌ی فنی و هندسی، دانشگاه آزاد اسلامی - واحد گرمسار

محمد مدرس* (استاد)

دانشکده‌ی هندسی صنایع، دانشگاه صنعتی شریف

«تعیین زمان بندی فرود هواپیماها روی باند فرودگاه» مسئله‌ی پرکاربرد و در عین حال به لحاظ پیچیدگی محاسباتی دشوار است. این مسئله عبارت است از تخصیص هواپیماها برای فرود به باند فرودگاه، به طوری که مجموع خسارات ناشی از دیرکرد و زودکرد در فرود همه‌ی هواپیماها کمینه شود. پیچیدگی محاسباتی این مسئله باعث توجه خاص به الگوریتم‌های ابتكاری و فراابتکاری به عنوان رویکردی برای حل مسئله شده است. لذا در این نوشتار برای حل بهینه‌ی مسائل با ابعاد بیشتر از ۱۰۰ هواپیما، الگوریتم فراابتکاری نزول همسایگی متغیر طراحی می‌شود. نتایج محاسباتی نشان از توانایی الگوریتم در یافتن جواب‌های با کیفیت بالا در یک زمان محاسباتی کوتاه برای مسائل تا اندازه ۲۰۰ هواپیما و ۵ باند فرود را دارند.

amir.salehipour@gmail.com
modarres@sharif.edu

واژگان کلیدی: زمان بندی فرود هواپیما، الگوریتم نزول همسایگی متغیر، الگوریتم‌های فراابتکاری.

مقدمه

مطالعه‌ی قبلی خود مسئله را در حالت پویا نیز بررسی کردند.^[۱] در یک کار تحقیقی دیگر و با بهره‌گیری از الگوریتم فراابتکاری «جستجوی پراکنده»^۱ جواب‌هایی با کیفیت بالا برای مسائل تا ابعاد ۵۰۰ هواپیما ارائه شد.^[۲] محققین دیگری نیز به بررسی این مسئله پرداخته‌اند، اما در سال ۲۰۰۴، هانسن با در نظر گرفتن مفروضات بسیار و با استفاده از الگوریتم ژنتیک اقدام به حل مسئله تنها تا ابعاد ۲۰ هواپیما کرده است.^[۳] در سال ۲۰۰۷، با ارائه‌ی مدلی تحلیلی برای نظریه صفت مسائلی با دو باند فرود حل شد.^[۴] در سال ۲۰۰۸، با در نظر گرفتن این مسئله که هزینه‌ها به هنگام فرود (مجموع وزنی انحرافات از زمان تعیین شده فرود) است.

این موضوع مسئله‌ی دشوار (NP-Hard) است، به طوری که حل ابعاد بزرگ آن در یک زمان منطقی به لحاظ محاسباتی ممکن نیست. در ادامه به اختصار مهم ترین تحقیقات انجام شده در این زمینه معرفی شده است. در سال ۱۹۹۹ محققین یک الگوریتم سیمپلکس خاص برای مسئله طراحی و با بهره‌گیری از آن و همچنین از یک الگوریتم ابتكاری و انشعاب و تحدید اقدام به حل مسئله تا ابعاد ۴۴ هواپیما و ۴ باند فرود کردند.^[۵] پس از آن، در سال ۲۰۰۰، محققین دیگری به حل بهینه‌ی این مسئله تا اندازه ۵۰ هواپیما پرداختند.^[۶] آن‌ها یک مدل ریاضی عدد صحیح مختلط را برای مسئله با در دست داشتن یک باند فرود ارائه کردند و آن را به حالتی که بیش از یک باند فرود موجود باشد تعیین دادند. آنان در سال ۲۰۰۴ به دنبال توسعه

* نویسنده مسئول

تاریخ: دریافت ۱۰/۱۳۸۹، اصلاحیه ۱۳۸۹/۱۲/۱، پذیرش ۱۵/۱۲/۱۳۸۹.

T_i : زمان هدف فرود هواپیمای i در فرودگاه؛ c_i^+ و c_i^- : هزینه‌ی ناشی از تأخیر و تعجیل در فرود هواپیمای i ؛
 E_i : زودترین زمان فرود هواپیمای i ؛
 L_i : دیرترین زمان فرود هواپیمای i .
 مدل ریاضی حاصل چنین است:

$$\min Z = \sum_{i=1}^n (a_i c_i^+ + b_i c_i^-) \quad (1)$$

S.t.

$$E_i \leq x_i \leq L_i \quad i = 1, \dots, n \quad (2)$$

$$x_i - T_i = -a_i + b_i \quad i = 1, \dots, n \quad (3)$$

$$(x_j - x_i) \geq S_{ij} \delta_{ij} + (1 - \delta_{ij}) - M y_{ji} \quad i, j = 1, \dots, n, i \neq j \quad (4)$$

$$y_{ij} + y_{ji} = 1 \quad i, j = 1, \dots, n, i \neq j \quad (5)$$

$$\delta_{ij} \geq \gamma_{ir} + \gamma_{jr} - 1 \quad i, j = 1, \dots, n, i \neq j, r = 1, \dots, m \quad (6)$$

$$\sum_{r=1}^m \gamma_{ir} = 1 \quad i = 1, \dots, n \quad (7)$$

$$y_{ij}, \gamma_{ir}, \delta_{ij} \in \{0, 1\} \quad i, j = 1, \dots, n, r = 1, \dots, m \quad (8)$$

$$x_i, a_i, b_i \geq 0 \quad i = 1, \dots, n \quad (9)$$

در این مدل ریاضی، رابطه‌ی ۱ مجموع هزینه‌ی ناشی از تأخیر و تعجیل در فرود را کمینه‌ی می‌کند. محدودیت ۲ هر هواپیما را ملزم می‌کند که در بازه زمانی تعیین شده (زودترین و دیرترین زمان مجاز) فرود آید. محدودیت ۳ ارتباط متغیر تصمیم x_i و پارامتر T_i را با متغیرهای تصمیم a_i و b_i برقرار می‌کند. با محدودیت ۴ اطمینان حاصل می‌شود که فاصله‌ی زمانی بین دو هواپیمای i و j حداقل برابر S_{ij} است مشروط بر آن که روی یک باند فرود آیند، و در غیر این صورت برابر با ۱ است. محدودیت ۵ امکان پذیر بودن فرود هر دو هواپیما را بررسی می‌کند. محدودیت ۶ ارتباط بین متغیرهای تصمیم y_{ij} , γ_{ir} و δ_{ij} را برقرار می‌کند. با محدودیت ۷ تخصیص هر هواپیما تنها به یک باند فرود عملی می‌شود.

چنان که در ادامه، در بررسی نتایج محاسباتی، مطرح خواهیم کرد، برای حل این مدل از Cplex استفاده شده است. مدل ارائه شده در بالا بسیار توانمند بوده و می‌تواند مسائل تا اندازه ۱۰۰ هواپیما و بیش از ۱ باند فرود را به راحتی حل کند. اما به دلیل ماهیت دشوار (NP-Hard) مدل و پیچیدگی مسائل دارای بیش از ۱۰۰ هواپیما، امکان به دست آوردن جواب بهینه در زمان مناسب میسر نیست. بنابراین به منظور حل مدل با ابعاد بزرگ‌تر، الگوریتم فرالبتکاری «نزول همسایگی متغیر» متناسب با این مسئله طراحی می‌شود.

الگوریتم فرالبتکاری نزول همسایگی متغیر

الگوریتم نزول همسایگی متغیر به دسته‌ی از الگوریتم‌های فرالبتکاری موسوم به «جست‌وجوی همسایگی متغیر»^۳ تعلق دارد که توسط ملاندویج و هانسن در سال ۱۹۹۷ ارائه شده است.^[۸] برای مطالعات بیشتر در خصوص این الگوریتم را می‌توان به دو مقاله‌ی هانسن و ملاندویج که در آن‌ها عملکرد و جزئیات الگوریتم به طور

تعریف مسئله

مدل جدید برنامه‌ریزی عدد صحیح برای آن ارائه می‌کنیم. پس از آن یک الگوریتم نزول همسایگی متغیر طراحی می‌شود و نتایج و تحلیل‌های محاسباتی آن نیز ارائه می‌شود.

چنان که پیش تر نیز اشاره شد، مسئله‌ی تحت بررسی عبارت است از «تعیین توالی بهینه‌ی فرود هواپیماها و تخصیص آن‌ها به باندهای مختلف فرودگاه، به‌طوری که مجموع خسارات ناشی از دیرکرد و زودکرد فرود هواپیماها کمینه شود.» به‌منظور تعیین دیرکرد و زودکرد، باید انحراف از برنامه‌ی زمان‌بندی فرود هواپیماها نسبت به زمان فرود هدف محاسبه شود. فرود هواپیما زودتر از زمان هدف منجر به تحمل خسارت جریمه‌ی زودکرد و در مقابل، فرود آن دیرتر از زمان هدف منجر به تحمل خسارت دیرکرد می‌شود. زمان هدف را می‌توان از پیش تعیین کرد، اما زمان فرود کاملاً به شرایط عملیاتی فرود بستگی دارد. لذا ممکن است یک هواپیما نتواند در زمان هدف خودش یا سیار مجموع انحرافات زمان فرود از زمان هدف و هزینه‌های ناشی از آن است.

علاوه بر دو زمان هدف و زمان‌بندی شده‌ی فرود، می‌توان برای هر هواپیما یک بازه زمانی (بنجهزه زمانی) در نظر گرفت که در آن برای هر هواپیما زودترین و دیرترین زمان فرود مشخص می‌شود. به‌علاوه به‌منظور فرود اینم، بین هر دو هواپیما یک پشت سر هم فرود می‌آیند باید یک زمان جداسازی در نظر گرفته شود. معمولاً این زمان جداسازی به نوع هواپیما (بزرگ، کوچک، متوسط، باری و...) وابسته است ولی به باند فرود بستگی ندارد. به‌علاوه چنانچه دو هواپیمایی متواالی در برنامه‌ی زمان‌بندی فرود روی یک باند فرود نیایند، طبیعتاً زمان جداسازی آن‌ها کمتر از هنگامی است که آن دو هواپیما روی یک باند فرود آیند. بدون از دست دادن کلیت مسئله، در این نوشتار زمان جداسازی دو هواپیمایی متواالی در برنامه‌ی زمان‌بندی فرود -- به‌طوری که روی یک باند فرود نیایند -- یک واحد زمانی در نظر گرفته شده است.

مدل ریاضی پیشنهادی

در این بخش یک مدل ریاضی عدد صحیح مختلط برای مسئله توسعه داده می‌شود. نمادهای مدل، شامل متغیرها و پارامترهای مدل، به شرح زیر تعریف می‌شوند:

الف) متغیرهای تصمیم

x_{ij} : زمان برنامه‌ریزی شده‌ی فرود هواپیمای i در فرودگاه j ($i = 1, \dots, n$)؛

y_{ij} : اگر هواپیمای i قبل از هواپیمای j فرود آید ۱ و در غیر این صورت ۰؛

γ_{ir} : اگر هواپیمای i برای فرود به باند r تخصیص یابد ۱ و در غیر این صورت ۰؛

δ_{ij} : اگر هواپیمای i و هواپیمای j روی یک باند فرود آیند ۱ و در غیر این صورت ۰؛

a_i : میزان دیرکرد فرود هواپیمای i در فرودگاه یا ($i = 1, \dots, n$)؛

b_i : میزان زودکرد فرود هواپیمای i در فرودگاه یا ($i = 1, \dots, n$)؛

ب) پارامترهای مدل

S_{ij} : فاصله‌ی زمانی برای جداسازی هواپیماهای i و j روی یک باند؛

A_n	...	A_r		A_1	باند ۱
-------	-----	-------	---	-------	--------

شکل ۱. ساختار همسایگی ۱.

A_n	...	A_r		A_1	باند ۱
B_n	...	B_r		B_1	باند ۲

شکل ۲. ساختار همسایگی ۲.

A_n	...	A_1	باند ۱
B_n	...	B_1	باند ۲
C_n	...	C_1	باند ۳

شکل ۳. ساختار همسایگی ۳.

A_n	...	A_1	باند ۱
B_n	...		باند ۲

A_n	B_1	A_1	باند ۱
A_n	...	-	باند ۲

شکل ۴. ساختار همسایگی ۴.

ساختار همسایگی ۲: جابه‌جایی دو هواییما از دو باند مختلف. در این همسایگی ترتیب فرود دو هواییما روی دو باند مختلف با یکدیگر جابه‌جا می‌شود (شکل ۲). ساختار همسایگی ۳: جابه‌جایی دو باند فرود. در این همسایگی دو باند فرود با یکدیگر جابه‌جا می‌شوند ولی فرود هواییماها تغییری نمی‌کند. به عبارت دیگر در این همسایگی تنها هواییماهای یک باند با باند دیگر جابه‌جا می‌شود (شکل ۳).

ساختار همسایگی ۴: حذف و اضافه کردن یک هواییما. در این همسایگی یک هواییما از توالی فرود روی یک باند حذف شده و به توالی فرود روی باند دیگری تخصیص داده می‌شود (شکل ۴).

چنان‌که نتایج محاسباتی نشان می‌دهد به‌کارگیری این ۴ ساختار همسایگی در چهارچوب الگوریتم فرالاتکاری نزول همسایگی متغیر منجر به جواب‌هایی با کیفیت بسیار بالا شده‌است. اگرچه ساختارهای همسایگی طراحی شده تصادفی است، به‌دلیل طراحی هوشمندانه‌ی آن‌ها و به‌همراه استفاده از الگوریتم نزول همسایگی متغیر، می‌توان به جواب‌هایی با کیفیت بالا دست یافت.

جواب اولیه و شرط توقف

جواب اولیه در عملکرد الگوریتم‌های ابتکاری و فرالاتکاری بسیار تأثیرگذار است و بنا بر این افزایش کیفیت جواب اولیه باعث افزایش کیفیت جواب نهایی می‌شود. از طرفی جواب اولیه باید قابلیت تولید جواب‌های با کیفیت بسیار خوب را داشته باشد. از این‌رو جواب اولیه را به صورت تصادفی تولید کردیم. به‌منظور حصول اطمینان از کیفیت بالای جواب اولیه، تعداد ۱۰ جواب اولیه تولید و بهترین آن‌ها به عنوان نقطه شروع وارد الگوریتم فرالاتکاری جهت بهبود شد.

در طراحی الگوریتم پیش رو از ضابطه‌ی پذیرش قطعی برای پذیرش جواب‌ها استفاده شده‌است. یعنی تنها جواب‌های برتر که منجر به بهبود مقدار تابع هدف

الگوریتم ۱. نزول همسایگی متغیر.

شروع

مجموعه‌یی از ساختارهای همسایگی N_k را تعیین کنید که $k = 1, 2, \dots, k_{\max}$ را تکرار کنید: جواب اولیه را x بنامید.

تکرار. تا وقتی که هیچ بهبودی رخ ندهد گام‌های زیر را تکرار کنید: قرار دهید: $.k = 1$.

تا وقتی که $k = k_{\max}$ مراحل زیر را انجام دهید: بهترین همسایه‌ی \hat{x} از x را بیابید، یعنی $\hat{x} \in N_k(x)$.

اگر \hat{x} از بهترین جواب موجود یعنی x بهتر است قرار دهید: $\hat{x} = x$ در غیر این صورت: $.k = k + ۱$.

کامل ارائه شده، مراجعه کرد.^[۱۰,۹] ایده‌ی اصلی این الگوریتم تغییر ساختارمند ساختارهای همسایگی در هین جستجوی فضای جواب است. انجام این کار سبب می‌شود علاوه بر جستجوی کامل فضای جواب، نواحی مختلف فضای جواب نیز جستجو شوند. درنتیجه احتمال یافتن جواب‌های با کیفیت بالا افزایش می‌یابد (الگوریتم ۱).

همانند بسیاری از الگوریتم‌های فرالاتکاری، این الگوریتم نیز کار خود را با یک جواب اولیه شروع می‌کند. سپس با استفاده از اولین ساختار همسایگی برای بهبود جواب اولیه، تا زمانی که این ساختار همسایگی منجر به جواب‌هایی با بهتر می‌شود الگوریتم با استفاده از این همسایگی به جستجوی خود ادامه می‌دهد. هنگامی که جستجو با استفاده از همسایگی فعلی نتواند منجر به بهبود در جواب شود الگوریتم از همسایگی بعدی برای بهبود جواب استفاده می‌کند. معمولاً این الگوریتم هنگامی متوقف می‌شود که دیگر هیچ بهبودی در جواب رخ ندهد. البته از دیگر شرط‌های توقف همانند تعداد تکرار، میزان خطای خطا و برخی موارد دیگر نیز می‌توان بهره جست. در ادامه ساختارهای همسایگی به‌کارگرفته شده در این الگوریتم ارائه شده است.

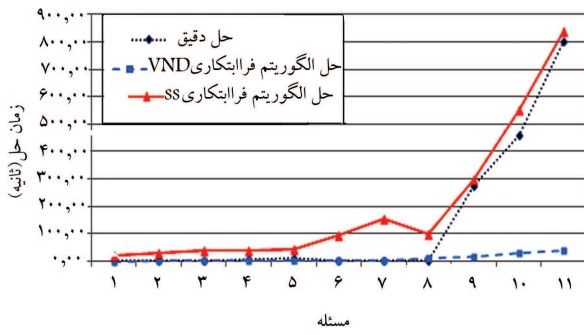
ساختارهای همسایگی

ساختارهای همسایگی عبارت‌اند از جواب‌هایی که با یک تغییر در یک جواب حاصل می‌شوند. ساختارهای همسایگی وابسته به مسئله‌اند و برای هر مسئله به‌طور متمایز تعریف می‌شوند. اگرچه الگوهایی برای به‌کارگیری مناسب این ساختارها وجود دارد، اغلب برای مسائل زمان‌بندی و توالی عملیات با تغییر ترتیب توالی عناصر تحت مطالعه (در اینجا هواییماها) می‌توان ساختارهای همسایگی متعددی را تعریف کرد و به کار برد. به عنوان مثال، اگر جای دو هواییما در جواب فعلی تغییر کند، منجر به جواب دیگری خواهد شد. در الگوریتم طراحی شده از ۴ ساختار همسایگی استفاده شده است. این ساختارهای همسایگی تصادفی‌اند، بدین معنا که تمامی عملیات اجراشده در آن‌ها به صورت تصادفی انجام می‌شود. دلیل این امر جلوگیری از افتادن در دام جواب‌هایی بهینه‌ی محلی با کیفیت پایین است. ایده‌ی مشابهی نیز توسط دیگر محققین به‌کارگرفته شده است.^[۱۱] ساختارهای همسایگی مذکور عبارت‌اند از

ساختار همسایگی ۱: جابه‌جایی دو هواییما از یک باند فرود. در این همسایگی ترتیب فرود دو هواییما روی یک باند با یکدیگر جابه‌جا می‌شود (شکل ۱).

جدول ۱. نتایج محاسباتی مربوط به حل دقیق و حل ابتدکاری (با استفاده از الگوریتم فراابتکاری نزول همسایگی متغیر).

الگوریتم فراابتکاری SS	خطا (%)	الگوریتم فراابتکاری VND		حل دقیق		تعداد باند	تعداد هواییما	نام مسئله
		تابع هدف زمان (ثانیه)	تابع هدف زمان (ثانیه)	تابع هدف زمان (ثانیه)	تابع هدف زمان (ثانیه)			
۴ ۷۰۰	۰	۰ ۷۰۰	۰ ۷۰۰	۰,۶۶	۷۰۰	۱		
۲۴ ۹۰	۰	۰ ۹۰	۰ ۹۰	۰,۱۲	۹۰	۲	۱۰	۱
۳۹ ۰	۰	۰ ۰	۰ ۰	۰,۱۰	۰	۳		
۶ ۱۴۸۰	۰	۱,۰۹ ۱۴۸۰	۰,۴۹ ۱۴۸۰	۰,۴۹ ۱۴۸۰	۱۴۸۰	۱		
۴۵ ۲۱۰	۰	۱,۶۶ ۲۱۰	۰,۲۴ ۲۱۰	۰,۲۴ ۲۱۰	۲۱۰	۲	۱۵	۲
۴۶ ۳۰	۰	۱,۹۸ ۳۰	۰,۲۸ ۳۰	۰,۲۸ ۳۰	۳۰	۳		
۸ ۸۲۰	۰	۱,۷۸ ۸۲۰	۰,۳۹ ۸۲۰	۰,۳۹ ۸۲۰	۸۲۰	۱		
۴۸ ۷۰	۰	۳,۱۲ ۷۰	۰,۳۰ ۷۰	۰,۳۰ ۷۰	۷۰	۲	۲۰	۳
۶۲ ۱۰	۰	۳,۲۹ ۱۰	۰,۲۶ ۱۰	۰,۲۶ ۱۰	۱۰	۳		
۸ ۲۵۲۰	۰	۱,۹۸ ۲۵۲۰	۰,۱۲ ۲۵۲۰	۰,۱۲ ۲۵۲۰	۲۵۲۰	۱		
۵۲ ۶۶۰	۰	۳,۵۶ ۶۶۰	۱۲,۶۲ ۶۶۰	۱۲,۶۲ ۶۶۰	۶۶۰	۲		
۴۶ ۱۶۰	۰	۳,۷۴ ۱۶۰	۰,۸۴ ۱۶۰	۰,۸۴ ۱۶۰	۱۶۰	۳		
۵۶ ۳۰	۰	۴,۰۶ ۳۰	۰,۴۱ ۳۰	۰,۴۱ ۳۰	۳۰	۴		
۹ ۳۱۰۰	۰	۱,۸۵ ۳۱۰۰	۲۰,۴۴ ۳۱۰۰	۲۰,۴۴ ۳۱۰۰	۳۱۰۰	۱		
۵۰ ۶۵۰	۰	۳,۰۴ ۶۵۰	۱۵,۰۳ ۶۵۰	۱۵,۰۳ ۶۵۰	۶۵۰	۲		
۵۴ ۱۷۰	۰	۴,۱۱ ۱۷۰	۱,۴۷ ۱۷۰	۱,۴۷ ۱۷۰	۱۷۰	۳		
۵۶ ۳۰	۰	۴,۳۵ ۳۰	۰,۳۳ ۳۰	۰,۳۳ ۳۰	۳۰	۴		
۱۵۸ ۲۴۴۴۲	۰	۲,۱۲ ۲۴۴۴۲	۰,۱۰ ۲۴۴۴۲	۰,۱۰ ۲۴۴۴۲	۲۴۴۴۲	۱		
۷۰ ۵۵۴	۰	۳,۹۸ ۵۵۴	۰,۸۱ ۵۵۴	۰,۸۱ ۵۵۴	۵۵۴	۲	۳۰	۶
۵۴ ۰	۰	۴,۴۱ ۰	۰,۲۲ ۰	۰,۲۲ ۰	۰	۳		
۱۹۵ ۱۵۵۰	۰	۲,۶۸ ۱۵۵۰	۰,۸۶ ۱۵۵۰	۰,۸۶ ۱۵۵۰	۱۵۵۰	۱		
۱۱۸ ۰	۰	۲,۸۳ ۰	۰,۲۶ ۰	۰,۲۶ ۰	۰	۲	۴۴	۷
۴۲ ۲۹۶۴,۹۶	۰	۷,۱۰ ۱۹۵۰	۰,۹۸ ۱۹۵۰	۰,۹۸ ۱۹۵۰	۱۹۵۰	۱		
۱۲۱ ۱۳۵	۰	۱۰,۷۳ ۱۳۵	۱,۵۳ ۱۳۵	۱,۵۳ ۱۳۵	۱۳۵	۲	۵۰	۸
۱۳۹ ۱۰	۰	۱۴,۱۱ ۱۰	۱,۴۲ ۱۰	۱,۴۲ ۱۰	۱۰	۳		
۱۱۹ ۶۰۹۱,۸۸	۷,۸۸	۱۱,۵۹ ۵۶۱۱,۷۰	۱۰۰۰ (٪۴۳,۵۷) ۶۰۹۱,۸۸	۱۰۰۰ (٪۴۳,۵۷) ۶۰۹۱,۸۸	۶۰۹۱,۸۸	۱		
۲۴۲ ۴۵۲,۹۲	۰,۱	۱۳,۷۸ ۴۴۴,۵۶	۹۴,۶۲ ۴۴۴,۱	۹۴,۶۲ ۴۴۴,۱	۴۴۴,۱	۲		
۳۹۰ ۷۸,۱۵	۳,۱۷	۱۷,۹۵ ۷۸,۱۵	۴,۱۱ ۷۵,۷۵	۴,۱۱ ۷۵,۷۵	۷۵,۷۵	۳	۱۰۰	۹
۳۳۶ ۰	۰	۱۹,۶۹ ۰	۲,۵۶ ۰	۲,۵۶ ۰	۰	۴		
۲۲۷ ۱۲۲۲۹,۳۱	۴,۷۸	۲۰,۱۲ ۱۲۲۲۹,۳۱	۱۰۰۰ (٪۵۹,۸۳) ۱۲۹۴۸,۰۷	۱۰۰۰ (٪۵۹,۸۳) ۱۲۹۴۸,۰۷	۱۲۹۴۸,۰۷	۱		
۶۰۸ ۱۲۸۸,۷۳	۱,۳۴	۲۱,۳۳ ۱۱۵۹,۳۸	۱۰۰۰ (٪۵۳,۰۶) ۱۱۴۴,۰۴	۱۰۰۰ (٪۵۳,۰۶) ۱۱۴۴,۰۴	۱۱۴۴,۰۴	۲		
۶۶۸ ۲۲۰,۷۹	۷,۰۴	۲۷,۶۲ ۲۲۰,۷۹	۲۸۴,۰۵ ۲۰۶,۲۷	۲۸۴,۰۵ ۲۰۶,۲۷	۲۰۶,۲۷	۳	۱۵۰	۱۰
۶۴۷ ۳۵,۲۸	۰	۳۰,۱۲ ۳۵,۲۸	۷,۸۴ ۳۵,۲۸	۷,۸۴ ۳۵,۲۸	۳۵,۲۸	۴		
۶۰۷ ۱,۰۶	۰	۳۹,۸۵ ۱,۰۶	۶,۸۷ ۱,۰۶	۶,۸۷ ۱,۰۶	۱,۰۶	۵		
۲۵۶ ۱۲۴۱۸,۳۲	۲,۲۲	۲۴,۱۷ ۱۲۴۱۸,۳۲	۱۰۰۰ (٪۴۸,۰۸) ۱۲۶۹۹,۶۹	۱۰۰۰ (٪۴۸,۰۸) ۱۲۶۹۹,۶۹	۱۲۶۹۹,۶۹	۱		
۹۵۹ ۱۵۴۰,۸۴	۱۱,۹۱	۲۹,۰۹ ۱۴۹۱,۱۷	۱۰۰۰ (٪۵۹,۷۲) ۱۳۳۲,۵۲	۱۰۰۰ (٪۵۹,۷۲) ۱۳۳۲,۵۲	۱۳۳۲,۵۲	۲		
۱۰۲۱ ۲۸۰,۸۲	۷,۸۴	۴۱,۲۲ ۲۷۲,۹۲	۱۰۰۰ (٪۳۶,۰۷) ۲۵۳,۰۷	۱۰۰۰ (٪۳۶,۰۷) ۲۵۳,۰۷	۲۵۳,۰۷	۳	۲۰۰	۱۱
۹۹۳ ۵۴,۵۳	۰	۴۲,۴۰ ۵۴,۵۳	۱۰۰۰ (٪۱۱,۲۲) ۵۴,۵۳	۱۰۰۰ (٪۱۱,۲۲) ۵۴,۵۳	۵۴,۵۳	۴		
۹۵۶ ۰	۰	۶۶,۲۳ ۰	۱۱,۳۷ ۰	۱۱,۳۷ ۰	۰	۵		



شکل ۵. مقایسه سرعت سه رویکرد حل دقیق، حل الگوریتم فراباکاری SS و حل الگوریتم فراباکاری VND.

پراکنده می‌توان دریافت که علی‌رغم تشابه بسیار در رایانه‌های استفاده شده توسط این دو الگوریتم، الگوریتم توسعه‌یافته در این مقاله بسیار سریعتر است؛ این در حالی است که کیفیت جواب‌های آن نیز به طور قابل توجهی بالاتر است.

مقایسه سرعت دو رویکرد حل در شکل ۵ نشان داده شده است. در این شکل متوسط زمان محاسباتی برای هر مسئله ارائه شده است. خطوط پیوسته مربوط به حل فراباکاری و خط‌چین‌ها مربوط به حل دقیق است. چنان‌که در این شکل نیز مشاهده می‌شود، عملکرد زمانی الگوریتم فراباکاری طراحی شده از ثبات خوبی برخوردار است. این در حالی است که براساس نتایج ارائه شده در جدول ۱ جواب‌های این الگوریتم نیز از کیفیت بسیار بالایی برخوردارند. اگرچه عملکرد حل دقیق برای مسائل تا اندازه ۱۰۰ هواپیما بسیار توانمند بوده، افزایش سریع زمان محاسباتی (شکل ۵) نشان از عملکرد زمانی نامناسب حل دقیق برای مسائل بزرگ‌تر از ۱۰۰ هواپیما دارد. نویسنده‌گان معتقدند استفاده از الگوریتم فراباکاری نزول همسایگی متغیر برای اولین بار در حل این مسئله دشوار بازگشای افق‌هایی جدید در راستای حل دیگر مسائل دشوار توالی عملیات و زمان‌بندی است.^[۱۲]

نتیجه‌گیری

یافتن توالی فروند هواپیماها روی باندهای فروند با هدف کمینه‌سازی مجموع تأخیر و تعجیل ناشی از دیرکرد و زودکرد در فروند هواپیماها از جمله مسائل بسیار دشوار بهینه‌سازی ترکیبی حتی در ابعاد متوسط است. در این مقاله یک مدل برنامه‌ریزی عدد صحیح جدید برای مسئله مذکور ارائه شده، و سپس حل مسئله با این مدل جدید مورد مطالعه قرار گرفته است. دشواری‌های محاسباتی این مسئله امکان حل دقیق آن را در ابعاد بزرگ‌تر از ۱۰۰ هواپیما ناشناخته است. بنابراین در این نوشتار به منظور حل ابعاد بزرگ‌تر این مسئله تا اندازه ۲۰۰ هواپیما، یک الگوریتم فراباکاری بسیار توانمند تسعده داده شده است. الگوریتم پیشنهادی، الگوریتم نزول همسایگی متغیر است که به همراه چهار ساختار همسایگی طراحی شده برای آن منجر به جواب‌های با کیفیت بالا و قابل مقایسه با جواب‌های بهینه برای مسئله مورد بررسی شده است. نویسنده‌گان انتظار دارند ساختارهای همسایگی کوئین‌مندتر منجر به نتایج محاسباتی بهتری شوند. لذا در این زمینه می‌توان از همسایگی‌های قطعی در مقابل همسایگی‌های احتمالی و تصادفی نیز بهره جست. تحقیق در این خصوص و بهره‌گیری از الگوریتم‌های گروه جست‌وجوی همسایگی متغیر می‌تواند افق‌های جدیدی را در حل مسائل دشوار توالی عملیات و زمان‌بندی بگشاید.

(کاهش تابع هدف) می‌شوند مورد پذیرش قرار می‌گیرند. این الگوریتم تا آنجا اجرا می‌شود که دیگر هیچ بهبودی توسط هیچ‌یک از ساختارهای همسایگی ممکن نباشد.

نتایج محاسباتی

به منظور بررسی توانایی محاسباتی الگوریتم طراحی شده از مسائل نمونه موجود در ادبیات تحقیق استفاده شده است.^[۱۳] در مجموع ۱۱ مسئله با ابعاد ۱۰×۱۰ هواپیما و تا ۵ باند فروند بررسی شده‌اند. نرم‌افزار مورد استفاده برای حل دقیق مسئله (مبتنی بر مدل برنامه‌ریزی عدد صحیح مختلط ارائه شده در این مقاله)، Cplex و ویرایش C++ است. الگوریتم فراباکاری طراحی شده نیز با استفاده از زبان برنامه‌نویسی پی‌تی‌یو ۴ شامل ۲/۴ گیگاهرتز و ۵۱۲ مگابایت حافظه‌ی داخلی اجرا شده است.

در جدول ۱ نتایج محاسباتی برای ۱۱ مسئله حل شده ارائه شده است. در این جدول نتایج محاسباتی مربوط به مدل ریاضی (حل دقیق)، نتایج محاسباتی مربوط به الگوریتم فراباکاری نزول همسایگی متغیر (توسعه داده شده در این مقاله)، و نتایج مربوط به الگوریتم جست‌وجوی پراکنده^[۱۴] ثبت شده است. در این جدول ستون اول نام مسئله، ستون‌های دوم و سوم به ترتیب تعداد هواپیما و تعداد باند فروند، ستون‌های چهارم و پنجم نتایج مربوط به حل دقیق با استفاده از Cplex و ستون‌های ششم و هفتم نتایج مربوط به الگوریتم فراباکاری نزول همسایگی متغیر را نشان می‌دهند. در تمامی مسائل ارائه شده زمان محاسباتی براساس ثانیه ارائه شده است. ستون های دهم و دهم مربوط به نتایج الگوریتم فراباکاری نزول همسایگی متغیر است. ستون‌های نهم و دهم (حل دقیق) و الگوریتم فراباکاری نزول همسایگی متغیر است. در ستون چهارم (حل دقیق) و الگوریتم فراباکاری نزول همسایگی متغیر است. برخی از مسائل نیز نشان‌دهنده‌ی درصد خطای بین تابع هدف حاصله توسط Cplex در هشتاد نیم٪ است. در هشتاد نیم٪ از مسائل ارائه شده زمان محاسباتی براساس ثانیه ارائه شده است. ستون های دهم و دهم مربوط به نتایج الگوریتم فراباکاری نزول همسایگی متغیر است. در ستون چهارم برخی از مسائل (تابع هدف حل دقیق) در کنار تابع هدف، اختلاف بین حد پایین و بهترین جواب — که توسط Cplex حل شده — آورده شده است. این عدد فقط برای مسائلی آورده شده که Cplex نتوانسته جواب بهینه را برای آن‌ها ارائه کند. در این دسته از مسائل، حد بالا برای زمان محاسباتی معادل ۱۵۰۰ ثانیه در نظر گرفته شده است و بنابراین Cplex بعد از ۱۰۰۰ ثانیه متوقف و بهترین جواب حاصله توسط آن به همراه اختلاف بین حد پایین و بهترین جواب آورده شده است.

با تمرکز بر جدول ۱ می‌توان دریافت که مدل ریاضی ارائه شده توانسته برای اولین بار مسائل تا ۱۰۰ هواپیما و بیشتر از ۱ باند فروند را در زمان کوتاهی به طور بهینه حل کند. در دیگر مقالات که در پیشینه تحقیق به آن‌ها اشاره شده، مسائل تا اندازه ۵۰ هواپیما به طور بهینه حل شده‌اند. الگوریتم فراباکاری به کار گرفته شده برای تمامی مسائل تا اندازه ۵۰ هواپیما به جواب بهینه انجامیده است و با احتساب مسائل دارای ۱۰۰ هواپیما (در کل ۲۹ حالت)، الگوریتم فراباکاری طراحی شده در ۸۹/۶۶٪ از حالت‌ها موفق به ارائه‌ی جواب بهینه شده است (جواب‌های بهینه برای الگوریتم فراباکاری به صورت پرنگ نشان داده شده‌اند). برای مسائل با ۱۵۰ و ۲۰۰ هواپیما، اگرچه الگوریتم فراباکاری توانسته در چند مورد جواب بهینه ارائه کند، کیفیت جواب‌های آن از حل دقیق پایین‌تر است. البته با دقت در این نتایج می‌توان دریافت که خطای (اختلاف بین تابع هدف حل دقیق و تابع هدف الگوریتم فراباکاری) برای مسائل مذکور به طور میانگین پایین‌تر از ۱/۸۷٪ و حدود ۳/۳۱٪ است. به علاوه میانگین کل خطای حدود ۱/۸۷٪ است که نشان از عملکرد بسیار بالای الگوریتم فراباکاری طراحی شده برای مسئله مذکور است. به علاوه، از مقایسه نتایج حاصل از الگوریتم نزول همسایگی متغیر با الگوریتم فراباکاری جست‌وجوی

پانوشت‌ها

1. scatter search
2. variable neighborhood descent (VND)
3. variable neighborhood search (VNS)

منابع (References)

1. Ernst, A.T.; Krishnamoorthy, M. and Storer, R.H. "Heuristic and exact algorithms for scheduling aircraft landings", *Networks*, **34**(3), pp. 229-241 (1999).
2. Beasley, J.E.; Krishnamoorthy, M.; Sharaiha, Y.M. and Abramson D. "Scheduling aircraft landings-the static case", *Transportation Science*, **34**(2), pp. 180-197 (2000).
3. Beasley, J.E.; Krishnamoorthy, M.; Sharaiha, Y.M. and Abramson, D. "Displacement problem and dynamically scheduling aircraft landings", *Journal of the Operational Research Society*, **55**(1), pp. 54-64 (2004).
4. Pinol, H. and Beasley, J.E. "Scatter search and bi-nomic algorithms for the aircraft landing problem", *European Journal of Operational Research*, **171**, pp. 439-462 (2006).
5. Hansen, J.V. "Genetic search methods in air traffic control", *Computers & Operations Research*, **31**(3), pp. 445-459 (2004).
6. Bäuerle, N.; Engelhardt-Funke, O. and Kolonko, M. "On the waiting time of arriving aircrafts and the capacity of airports with one or two runways", *European Journal of Operational Research*, **177**(2), pp. 1180-1196 (2007).
7. Soomer, M.J. and Franx, G.J. "Scheduling aircraft landings using airlines' preferences", *European Journal of Operational Research*, **190**, pp. 277-291 (2008).
8. Mladenovic, N. and Hansen, P. "Variable neighborhood search", *Computers & Operations Research*, **24**(11), pp. 1097-1100 (1997).
9. Hansen, P. and Mladenović, N. "Variable neighborhood search: Principles & applications", *European Journal of Operational Research*, **130**(3), pp. 449-467 (2001).
10. Hansen, P. and Mladenović, N., *A Tutorial on Variable Neighborhood Search*, Working Paper, Les Cahiers Du GERAD (2003).
11. Aloise, D.J.; Aloise, D.; Rocha, C.T.M.; Ribeiro Filho, J.C.; Moura, L.S.S. and Ribeiro, C.C. "Scheduling workover rigs for onshore oil production", *Discrete Applied Mathematics*, **154**(5), pp. 695-702 (2006).